

九州大学 工学部 正員 平野 宗夫
 " " 正員 岩元 賢
 " " 学生員 中野 義一

I まえがき

抵抗則に関しては、従来様々な人工粗度を用いて実験が行なわれてきている。本論では、従来の完全粗面領域に対する抵抗則式を検討する事により改進した抵抗則式を、より実際河川に近づけるという意味で、多種多様な粗度要素が混在している混合砂礫を使った実験結果で検討したので、報告する。

II 抵抗則式の説明

各種粒径の粗度要素が点在する混合砂礫床の抵抗則式も、前報と同様にして求められ事ができる。即ち、図-1に示すような河床モデルにおいて、任意の粒径の礁の頂面に作用する底面流速を U_{ki} とする。このように粒径の異なる礁が河床の単位面積内にランダムに存在する場合、この河床の力のつり合いは、一般に次式で表わす事ができる。

$$\tau_o = \frac{\rho}{2} \int_0^\infty (C_D \epsilon A_i U_{ki}^2) \varphi(D) dD + \tau_s \quad (1)$$

$$\tau_o = \rho g f_i = \rho U_*^2 \quad (2)$$

τ_o : 河床の剪断応力 C_D : 抵抗係数

f_i : 河床の単位面積に働く摩擦抵抗

U_{ki} : 河床の単位面積に働く形状抵抗 (石凹第一項)

A_i : 粒径 d_i の礁の流れ方向に対する投影面積 ϵ : 遮蔽係数 i : 河床勾配 ρ : 水深 ρ : 木深 P : 木の密度
 $\varphi(D)$: 流れ方向に A_i する投影面積を有する粗度要素の確率密度函数で、あらかじめ河床面積を S とした時、
 A_i の確率 F との間に次のようないくつかの関係が成り立つ。

$$\int_0^\infty A_i \varphi(D) dD = F/S \quad (3)$$

S/F : 相対粗度密度 ($F = \sum_i A_i$)

ここで(2)式を(1)式に代入して、代表粒径 d_0 に対するその底面流速 U_{ko} や平均流速 U_m を用い、さらに、摩擦抵抗が形状抵抗に比べて無視できるので(2)式を(1)混合砂礫に対する抵抗則式は次式のように与えられる。

$$\frac{U_m}{U_*} = \frac{U_m}{U_{ko}} \sqrt{2 / \int_0^\infty C_D \epsilon A_i \left(\frac{U_{ki}}{U_{ko}}\right)^2 \varphi(D) dD} \quad (4)$$

そして、上式は、その流速分布形が類似であれば、粗度条件から U_{ki}/U_{ko} が求められる事になる。例えは、従来通り流速分布が、対数則分布に従う場合には、 $U_{ki}/U_{ko} = 8.5 + 5.75 \log(d_i/k_c)$, $U_{ko}/U_* = 8.5 + 5.75 \log(d_0/k_c)$ から $U_{ki}/U_{ko} = 1 + 5.75 \frac{U_{ki}}{U_{ko}} \log(d_i/d_0)$ なる関係を(4)式に代入すると次式が得られる。

$$\frac{U_{ki}}{U_*} = \sqrt{2 / \int_0^\infty C_D \epsilon A_i \left(1 + 5.75 \frac{U_{ki}}{U_{ko}} \log \frac{d_i}{d_0}\right)^2 \varphi(D) dD} \quad (5)$$

したがって U_{ki}/U_{ko} は、粒度分布形の2つの関数となることがわかる。次に抵抗則は $U_{ki}/U_* = 6.25 + 5.75 \log(k_c)$ を考慮し、粒度分布の形を標準偏差 σ で代表させると

$$\frac{U_m}{U_*} = \frac{U_{ko}}{U_*} (1) + 5.75 \log \frac{h}{2.46 d_0} \quad (6)$$

となり、右辺第一項は粒度分布形のみに関する項、第二項は木深と代表粒径に関する項である。

III 実験

1) 均一礫床実験

ほぼ均一粒径に近い4種類の礫 ($\alpha=1.0 \quad d_{50}=0.88 \text{ cm}, \alpha=1.3 \quad d_{50}=1.35 \text{ cm}$, $\alpha=1.1 \quad d_{50}=2.23 \text{ cm}, \alpha=1.2 \quad d_{50}=3.10 \text{ cm}$) を可変勾配水路 ($0.5 \times 0.6 \times 18.8 \text{ m}$, $\tan \theta = 0.01 \sim 0.10$) にランダムに固定した。

2) 総合砂礫床実験

対数確率紙上で直線的な粒度分布を有する中央粒径 d_{50} が等しく、かつ体積分布が対数正規分布するよう配合された3種類の総合砂礫 ($\alpha=2.05$, $d_m=0.32, \alpha=3.10 \quad d_m=0.89, \alpha=5.10 \quad d_m=0.61 \text{ cm}$) を $(d_{50}=0.24)$ を水路 ($0.25 \times 0.25 \times 5.2 \text{ m}, \tan \theta = 0.01\% \text{ } \times$) に設置し流速分布、水深、河床勾配等を測定した。

3) 矽の抗力係数測定

本実験に用いた礫の抗力係数 C_D は、静水中を落下する時の限界沈降速度 U_{crit} から算出する事にする。なお測定は $1/100$ 秒まで読み取れる digital timer によって行った。

IV 実験結果および考察

1) (U_{crit}/U_k) への関係

均一礫および総合砂礫における d_{50} に関する実測結果を図-2に示した。図より本実験の値は α が大きくなるにつれて、抵抗が増大するため U_{crit}/U_k の値は漸減することがわかる。

2) 抗力係数 C_D

nominal diameter による礫の抗力係数と Re 数の関係を図-3に示す通りで本実験に用いた礫の C_D は、ほぼ一定値 0.6 を有するものと思われる。

3) 抵抗則式の検討

以上より、本実験の実測値と(6式)に実測の $U_{crit}/U_k(\alpha)$ を代入して計算した結果を図-4に示した。図-4より、本式による結果は良好ではあるが、完全に一致しなかった。これは $U_{crit}/U_k(\alpha)$ にて実測値を用いたため、 d_{50} に対する混合砂礫床の誤差から生ずるものと思われる。

V 乱数モデルによる混合砂礫床のシミュレーション

第1項より、粒度分布形を与えれば(6式)によって混合砂礫の抵抗則が求まる事が判ったので、ここでは従来自然河川の混合砂礫の体積分布が、一般に対数正規分布する特性に着目し、体積分布が対数正規分布するよう、乱数モデルによる混合砂礫のシミュレーションを行つ事とした。図-5に示すような乱数によるモデル河床は等性材であると思われるが、河床のいわゆる任意の線上の粒度分布も確率的に同じであつ。そこで任意の線上において、その粒径 d_i を一様乱数 ($0 \leq R \leq 1$) で、二次元方向に発生させると、球心 O から線までの距離 e は、 $e = d_i (\sqrt{2} - R)$ となり、その時の横断面(iii)に示すようになる。ゆえに、このような混合砂礫にかかる抵抗を求めるために(6式)の積分項に対し、混合砂礫の標準偏差 σ を任意に考慮して数値積分を行うと、図-2に示すような U_{crit}/U_k との関係式が得られるので、逐次任意の混合砂礫に対する抵抗が求められることになる。なお本関係式について現在検討中である。

1) 平野 宗夫, 岩元 賢 : 急勾配水路の粒度に関する研究(I)(II) 土木西部支部 1976, 1977, 2.

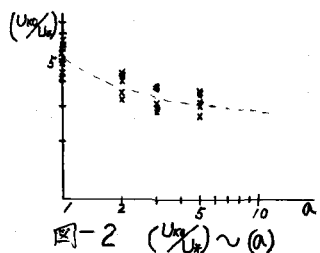


図-2 $(U_{crit}/U_k) \sim \alpha$

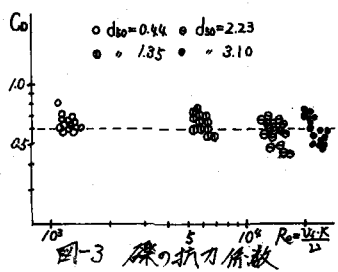


図-3 矽の抗力係数

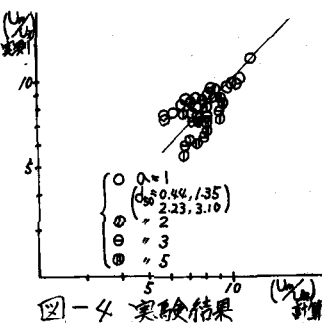


図-4 実験結果

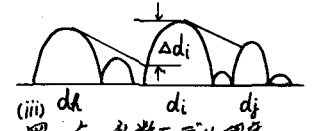
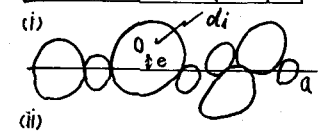
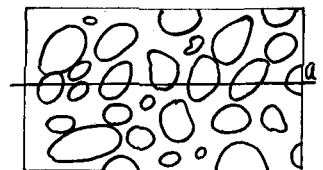


図-5 乱数モデル河床